

## 7. Anhang

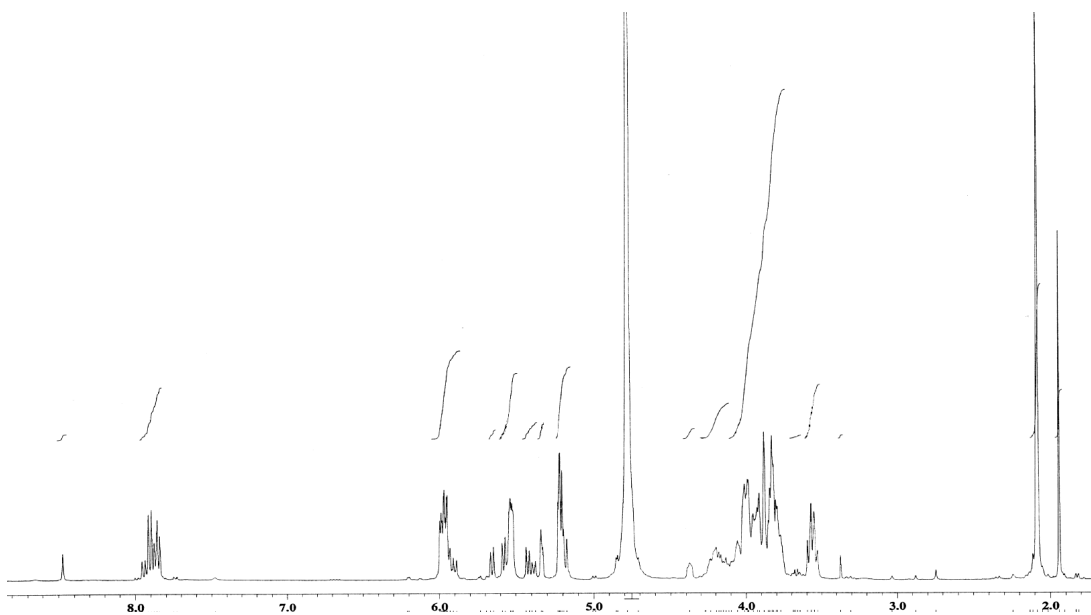


Abbildung 7.1:  $^1\text{H-NMR}$  (400 MHz,  $\text{D}_2\text{O}$ ) Spektrum von oxidiertem UDP-GlcNAc

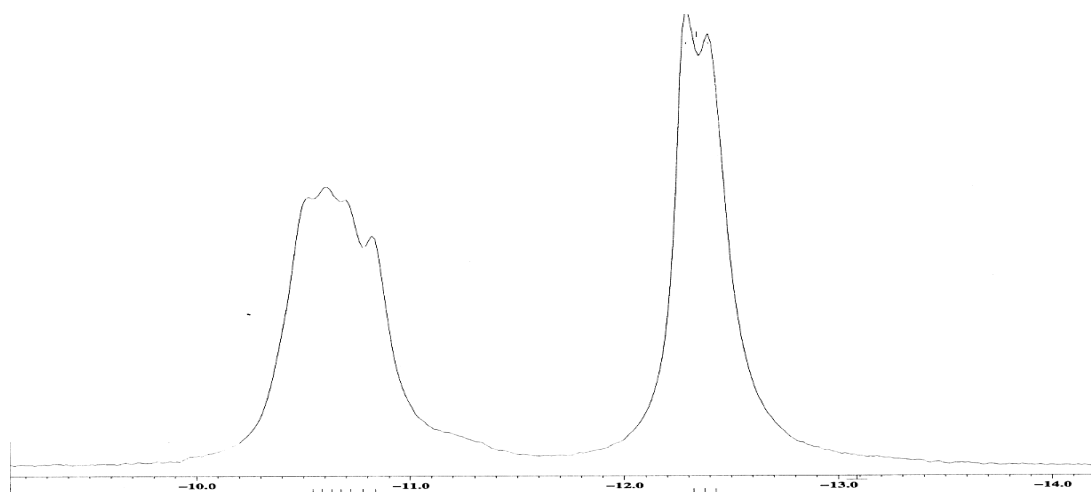


Abbildung 7.2:  $^{31}\text{P-NMR}$  (162 MHz,  $\text{D}_2\text{O}$ ) Spektrum von oxidiertem UDP-GlcNAc

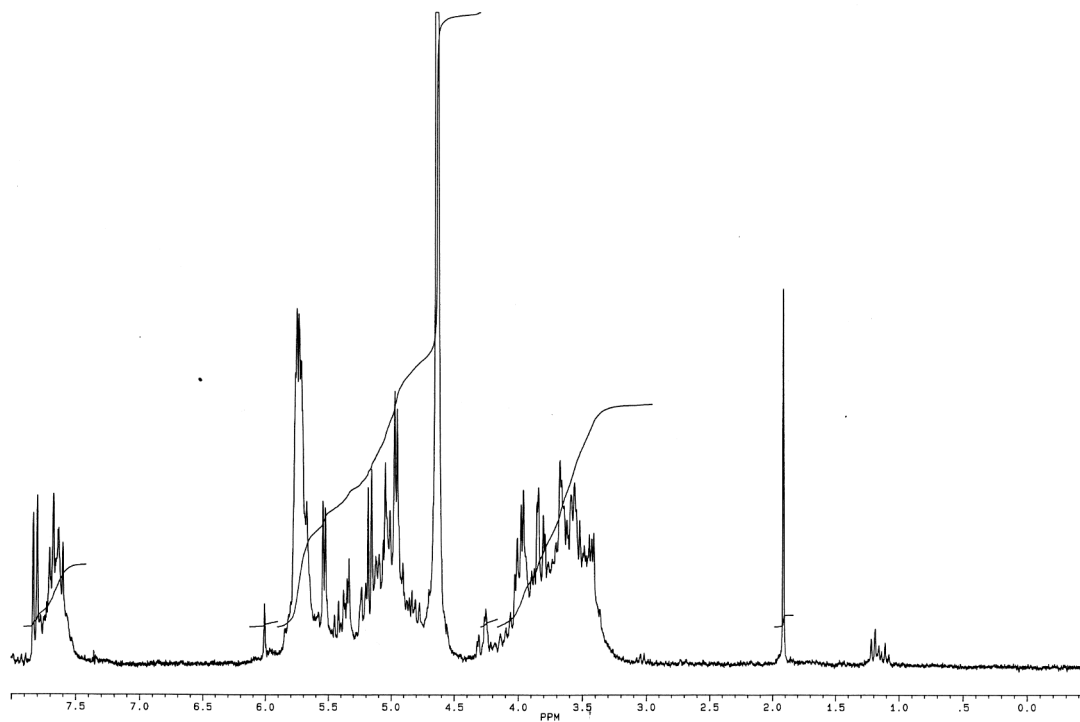


Abbildung 7.3:  $^1\text{H-NMR}$  (270 MHz,  $\text{D}_2\text{O}$ ) Spektrum von oxidiertem Uridin

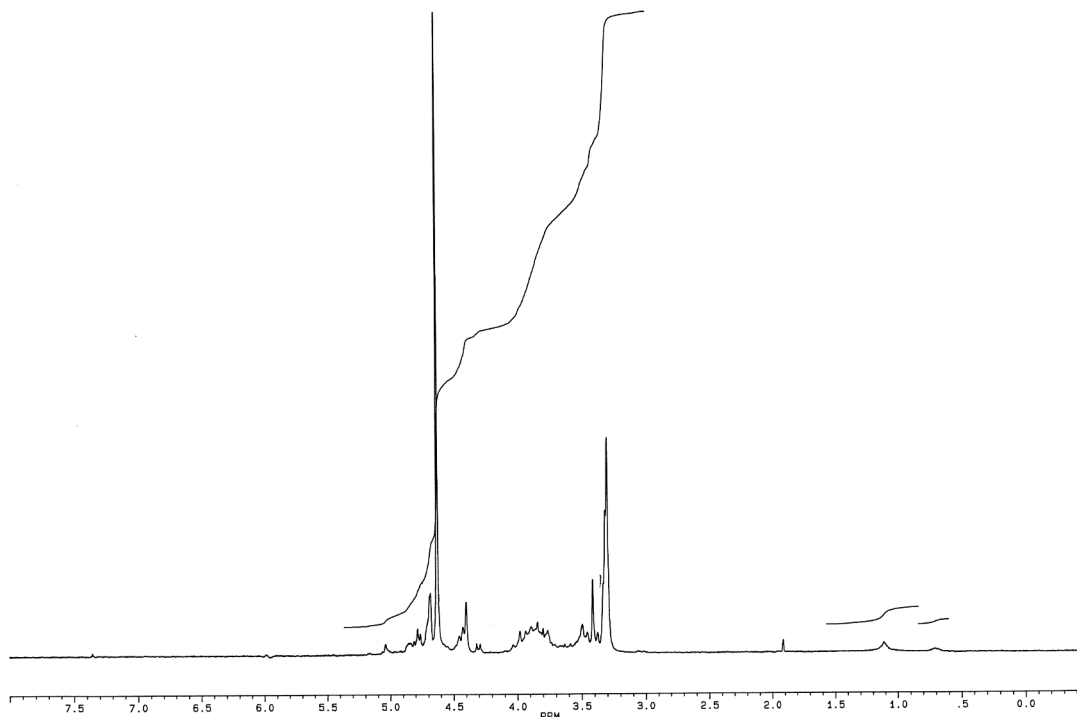


Abbildung 7.4:  $^1\text{H-NMR}$  (270 MHz,  $\text{D}_2\text{O}$ ) Spektrum von oxidiertem Methylribosid

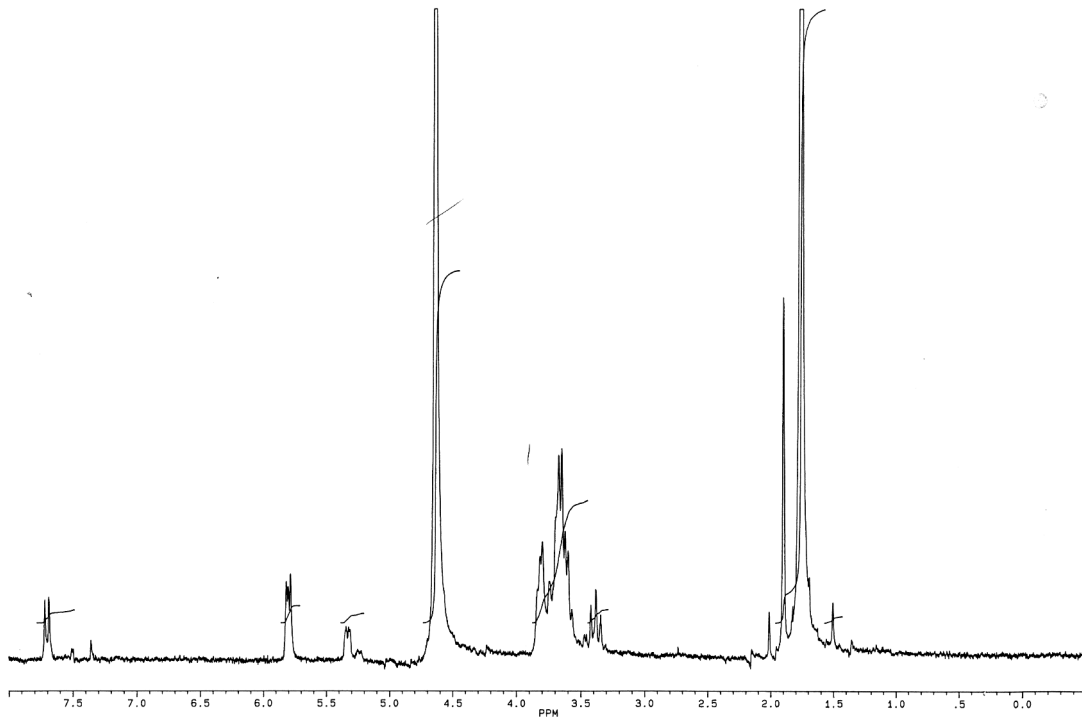


Abbildung 7.5:  $^1\text{H}$ -NMR (270 MHz,  $\text{D}_2\text{O}$ ) Spektrum von reduziertem o-UDP-GlcNAc

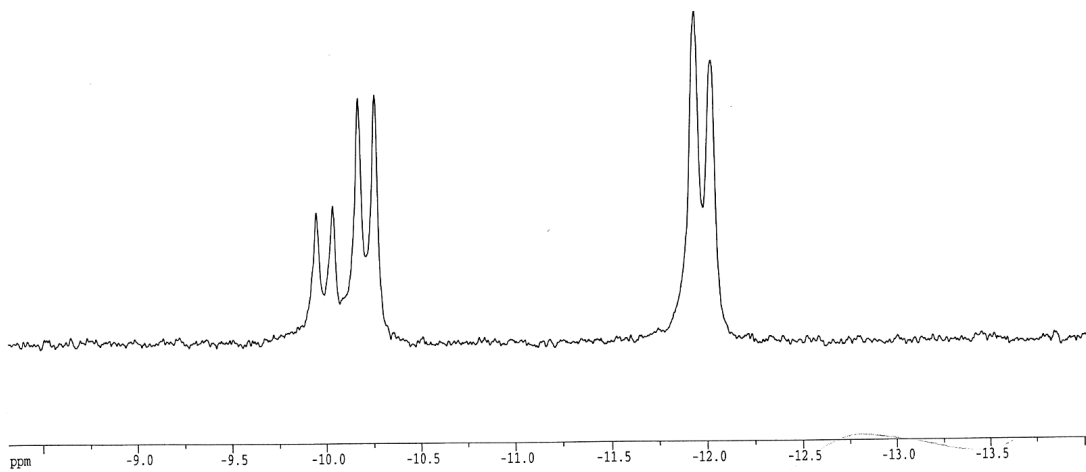


Abbildung 7.6:  $^{31}\text{P}$ -NMR (243 MHz,  $\text{D}_2\text{O}$ ) Spektrum von reduziertem o-UDP-GlcNAc

